

ВЛИЯНИЕ ЗАРЯДА ЯДРА БЫСТРОГО СТРУКТУРНОГО ИОНА НА ЕГО ВНУТРЕННЕЕ ЭФФЕКТИВНОЕ ТОРМОЖЕНИЕ ПРИ СТОЛКНОВЕНИЯХ С АТОМАМИ

*E. C. Гусаревич**

*Северный (Арктический) федеральный университет им. М. В. Ломоносова
163002, Архангельск, Россия*

Поступила в редакцию 6 июля 2016 г.

На основе приближения эйконала рассмотрены потери энергии быстрых структурных ионов при столкновениях с атомами. Под структурными ионами понимаются ионы, состоящие из ядра и некоторого количества связанных с ним электронов. Исследовано влияние заряда Z ядра иона на величину его внутреннего эффективного торможения $\kappa^{(p)}$ — потерю энергии, обусловленных возбуждением лишь собственных электронных оболочек иона. Показано, что учет взаимодействия атома с ядром иона при $Z_a Z/v > 1$, где Z_a — заряд ядра атома, v — скорость столкновения (в атомных единицах), оказывает заметное влияние на величину $\kappa^{(p)}$, что приводит, в общем случае, к необходимости непертурбативного учета влияния на $\kappa^{(p)}$ обоих зарядов Z_a и Z .

DOI: 10.7868/S004445101702002X

1. ВВЕДЕНИЕ

При изучении взаимодействия заряженных частиц с веществом особое место занимает исследование потерь энергии этих частиц при прохождении различных сред. Этому вопросу с давних пор уделяется много внимания и посвящено большое число работ (см., например, [1–6] и ссылки в них), в том числе, ввиду его практической важности. В роли таких заряженных частиц часто выступают структурные ионы [6–9] — ионы, состоящие из ядра и некоторого количества связанных с ним электронов. Это связано с тем, что при прохождении через вещество, в результате установления равновесия между процессами ионизации и захвата электронов, даже изначально голое ядро может приобрести некоторое число электронов, которые впоследствии будут определять равновесный заряд иона, отличающийся от заряда голого ядра [6, 9–11]. Таким образом, столкновение подобных структурных ионов (снаряд) с атомами или молекулами среды (мишень) следует рассматривать [7, 11–13] как столкновение двух сложных систем, при котором происходит одновременное возбуждение электронных оболочек как мишени, так и снаряда.

Учет таких одновременных процессов, происходящих в оболочках снаряда и мишени, был выполнен, например, в работах [11, 14] в рамках первого борновского приближения, где рассмотрено обобщение теории Бете на случай потерь энергии структурными ионами при столкновении с атомными мишнями. В работе [11] показано, что учет электронной структуры снаряда может давать заметный вклад (до 10–20 %) в общие потери энергии таких ионов. Обобщение теории Бете на случай потерь энергии структурных ионов при столкновениях с молекулярными мишнями приведено в работе [15]. Непертурбативное рассмотрение потерь энергии быстрых структурных ионов при столкновениях с атомами с учетом всевозможных, в том числе многократных, возбуждений и ионизации как снаряда, так и мишени, представлено в работе [12]. В ней на основе метода спивки и приближения внезапных возмущений показано, что потери энергии на возбуждение и ионизацию электронов структурного иона могут вносить заметный вклад в общие потери энергии, особенно, для многоэлектронных ионов. Обобщение развитой в [12] теории на случай столкновения структурных ионов с молекулами и наночастицами приведено в работах [16, 17].

Таким образом, согласно [11, 12, 14–17], потери энергии структурных ионов в среде можно охарактеризовать величиной эффективного торможения,

* E-mail: gusarevich@gmail.com

состоящего из двух слагаемых:

$$\kappa = \kappa^{(t)} + \kappa^{(p)}, \quad (1)$$

где $\kappa^{(t)}$ — внешнее эффективное торможение иона за счет возбуждения частиц среды, а $\kappa^{(p)}$ — внутреннее эффективное торможение иона за счет возбуждения своих собственных электронных оболочек, причем эти слагаемые можно рассматривать и рассчитывать отдельно друг от друга.

Отметим одну общую особенность борновского приближения и приближения внезапных возмущений, использованных в работах [11, 12, 14–17] для расчета эффективного торможения (1). В рамках этих двух приближений величина внутреннего эффективного торможения $\kappa^{(p)}$ определяется взаимодействием мишени лишь с электронной «шубой» иона. Взаимодействие же мишени с ядром иона оказывается не зависящим от координат электронов снаряда и поэтому в рамках вышеуказанных приближений оно не дает никакого вклада в $\kappa^{(p)}$. Следовательно, при расчете слагаемого $\kappa^{(p)}$ с использованием первого борновского приближения и приближения внезапных возмущений последнее взаимодействие может быть просто опущено.

В данной работе, на основе приближения эйконала, развит непертурбативный метод расчета внутреннего эффективного торможения $\kappa^{(p)}$ быстрых нерелятивистских структурных ионов при столкновениях с атомами. В рамках данного метода проведен учет взаимодействия атома-мишени с ядром иона и показано, что в определенных ситуациях это взаимодействие может вносить заметный вклад в величину $\kappa^{(p)}$. Проведено исследование зависимости величины $\kappa^{(p)}$ от скорости водородоподобного иона при разных значениях заряда ядра снаряда и мишени. При этом никаких ограничений связанных, например, с применением теории возмущений, на величину зарядов ядер атома-мишени в данной работе не налагается. Везде далее в статье используется атомная система единиц $\hbar = e = m_e = 1$.

2. ВНУТРЕННИЕ ПОТЕРИ ЭНЕРГИИ МНОГОЭЛЕКТРОННОГО ИОНА НА АТОМЕ

Рассмотрим столкновение быстрого нерелятивистского иона с нейтральным атомом. Пусть Z и Z_a — заряды соответственно ядер иона и атома, N — число электронов в ионе, v — скорость столкновения, причем

$$v \gg v_0, \quad (2)$$

где v_0 — характерная скорость электронов на оболочках иона. Взаимодействие иона с полем распределенного заряда атомных электронов будем описывать моделью Дирака — Хартри — Фока — Слейтера [18], согласно которой пространственная плотность электронов атома равна

$$n_e(\rho) = \frac{Z_a}{4\pi\rho} \sum_{i=1}^3 A_i \alpha_i^2 \exp(-\alpha_i \rho), \quad (3)$$

где A_i и α_i — постоянные, табулированные [18] для всех атомов с $Z_a = 1, \dots, 92$. Тогда энергия взаимодействия иона с атомом примет вид

$$U(\mathbf{R}, \mathbf{r}) = \frac{Z_a Z}{R} \phi(R) - \sum_{p=1}^N \frac{Z_a}{|\mathbf{R} + \mathbf{r}_p|} \phi(|\mathbf{R} + \mathbf{r}_p|), \quad (4)$$

где $\mathbf{r} \equiv \{\mathbf{r}_1, \mathbf{r}_2, \dots, \mathbf{r}_N\}$ — совокупность координат электронов иона относительно его ядра, $\mathbf{R} \equiv \{\mathbf{X}, \mathbf{b}\}$ — радиус-вектор ядра иона относительно ядра атома, ϕ — так называемая экранирующая функция, имеющая вид

$$\phi(\rho) = \sum_{i=1}^3 A_i \exp(-\alpha_i \rho). \quad (5)$$

При выполнении условия (2) эффективное торможение может быть рассчитано в системе покоя атома в рамках приближения эйконала и приближения Глаубера [19–22], а именно

$$\kappa^{(p)} = \frac{2\pi}{k^2} \sum_n (\varepsilon_n - \varepsilon_0) \int_{q_{min}}^{q_{max}} |f_{n0}|^2 q dq, \quad (6)$$

где ε_0 и ε_n — энергии начального $|0\rangle$ и конечного $|n\rangle$ состояний электронов иона, $\mathbf{q} = \mathbf{k}_n - \mathbf{k}_0$ — изменение импульса иона при рассеянии (для быстрых ионов $k_0 \approx k_n \approx k$), q_{min} и q_{max} — пределы изменения величины q , определяемые из законов сохранения энергии и импульса при столкновении, $f_{n0} = \langle n | f(\mathbf{q}) | 0 \rangle$ — амплитуда неупругого перехода $|0\rangle \rightarrow |n\rangle$,

$$f(\mathbf{q}) = \frac{ik}{2\pi} \int \exp(-i\mathbf{q}\mathbf{b}) \{1 - \exp(i\chi)\} d^2\mathbf{b}. \quad (7)$$

Здесь эйкональная фаза в (7), согласно (4), равна

$$\chi(\mathbf{b}, \mathbf{s}) = \sum_{p=1}^N \varphi(|\mathbf{b} + \mathbf{s}_p|) - Z\varphi(b), \quad (8)$$

где $\mathbf{s} \equiv \{\mathbf{s}_1, \mathbf{s}_2, \dots, \mathbf{s}_N\}$ — проекции координат электронов иона на плоскость, перпендикулярную скорости \mathbf{v} иона,

$$\varphi(b) = \frac{2Z_a}{v} \sum_{i=1}^3 A_i K_0(\alpha_i b), \quad (9)$$

K_0 — функция Макдональда нулевого порядка.

Прямое использование формулы (6) затруднено тем, что в ней нижний предел интегрирования $q_{min} \equiv q_n = (\varepsilon_n - \varepsilon_0)/v$ зависит от состояния иона n [21], что не дает возможности поменять местами операции интегрирования и суммирования в (6) и, тем самым, вычислить сумму по n , как это делалось, например, в работе [12]. Для упрощения расчетов воспользуемся приближением, используемым ранее в теории торможения Бете [21] точечных заряженных частиц на атомах, суть которого заключается в замене нижнего предела интегрирования в (6) q_n на «средний» эффективный импульс q_{eff} , который уже не зависит от n . Именно такая замена, обусловленная выполнением условия, аналогичного (2), позволяет получить в рамках теории возмущений для эффективного торможения известную формулу Бете [21] с q_{eff} , выражаящимся через «среднюю» энергию атома I_{eff} :

$$q_{eff} = I_{eff}/v, \\ I_{eff} = \exp \left(\frac{1}{N} \sum_n N_n \ln (\varepsilon_n - \varepsilon_0) \right), \quad (10)$$

где N_n — силы осцилляторов [21].

Рассмотренное выше приближение можно обобщить и на наш случай, с той лишь разницей, что применяемый нами подход является непертурбативным, а источником возмущения, вызывающего переходы в электронных оболочках иона, в нашей задаче является не точечная заряженная частица, а нейтральный атом конечных размеров, обладающий потенциалом некулоновского типа (4). Эти факторы, в итоге, приводят к следующему выражению для q_{eff} , обобщающему результат (10) теории Бете:

$$q_{eff} = G^{-1} \left(\frac{1}{N} \sum_n N_n G(q_n) \right), \quad (11)$$

где G^{-1} — функция, обратная к функции G , определяемой равенством

$$G(q) = \int_0^q |I(t)|^2 t^3 dt. \quad (12)$$

Здесь

$$I(q) = \int_0^\infty J_0(qb) \exp(-iQ\varphi(b)) \varphi(b) b db, \quad (13)$$

J_0 — функция Бесселя первого рода нулевого порядка, $Q = Z - N$ — заряд иона. Следует заметить,

что при рассмотрении потерь энергии точечной заряженной частицы на атоме формула (11) автоматически воспроизводит результат (10) как предельный частный случай.

Таким образом, введя вместо q_{min} в (6) эффективный импульс (11), мы можем поменять местами порядок операций суммирования и интегрирования в (6) и вычислить сумму по индексу n , используя теорему суммирования [12, 21]. В результате получим

$$\kappa^{(p)} = N \frac{\pi}{k^2} \int_{q_{eff}}^{q_{max}} (\nabla f \cdot \nabla f^+)_{00} q dq, \quad (14)$$

где $q_{max} = 2v$ [23], матричный элемент $(\nabla f \cdot \nabla f^+)_{00}$ вычисляется по основному состоянию $|0\rangle$ иона, описываемому симметризованной по перестановкам электронов волновой функцией, а дифференцирование посредством ∇ проводится по координатам любого из N электронов иона, например, с номером p ($1 \leq p \leq N$), причем тогда, согласно (7)–(9), имеем

$$\nabla f = \frac{k}{2\pi} \int \exp(-i\mathbf{q}\mathbf{b}) \exp(i\chi) \nabla \chi d^2\mathbf{b}, \quad (15)$$

$$\nabla \chi = -\frac{2Z_a}{v} \sum_{i=1}^3 A_i \alpha_i K_1(\alpha_i |\mathbf{b} + \mathbf{s}_p|) \frac{\mathbf{b} + \mathbf{s}_p}{|\mathbf{b} + \mathbf{s}_p|}, \quad (16)$$

где K_1 — функция Макдональда первого порядка. Таким образом, формулы (14)–(16) позволяют рассчитать внутреннее эффективное торможение быстрого нерелятивистского иона при столкновении с атомом.

Следует заметить, что число электронов N в (14) можно рассматривать как заданную величину только при фиксированном зарядовом составе ионов. Если же, например, при постановке эксперимента зарядовый состав ионов не отслеживается, то величину N уже нельзя рассматривать как фиксированную. В этом случае она будет носить флуктуационный характер и может быть определена из условия равновесия между процессами ионизации и захвата электронов, происходящими в оболочках структурного иона. При этом равновесное значение N оказывается зависящим от Z и v [6, 9–11].

3. ВНУТРЕННИЕ ПОТЕРИ ЭНЕРГИИ ВОДОРОДОПОДОВНОГО ИОНА НА АТОМЕ

В качестве примера использования развитой теории для расчета внутренних потерь энергии ионов рассмотрим простейшую ситуацию — столкновение

с атомом быстрого нерелятивистского водородоподобного иона. При этом зарядовый состав иона будем считать фиксированным. В этом случае $N = 1$ и состояния $|n\rangle$ единственного электрона иона описываются водородоподобными волновыми функциями с эффективным зарядом Z . Таким образом, $v_0 \sim \sim Z$, поэтому условие (2) применимости приближения Глаубера сводится к выполнению неравенства $Z/v \ll 1$. При этом заметим, что никаких ограничений на значения Z_a , как и ранее, мы не налагаем. Результаты, полученные в этом разделе, могут быть легко обобщены на случай $N > 1$ даже с учетом флуктуационного характера этой величины.

В случае столкновения атома с водородоподобным ионом эйкональная фаза χ , согласно (8), состоит теперь только из двух слагаемых:

$$\chi(\mathbf{b}, \mathbf{s}) = \varphi(|\mathbf{b} + \mathbf{s}|) - Z\varphi(b), \quad (17)$$

где, в отличие от (8), под \mathbf{s} понимается координата единственного электрона иона. Первое слагаемое в (17) обусловлено взаимодействием атома с электроном иона, а второе связано с взаимодействием атома с ядром иона. После подстановки (17) в (15), выражение (14) для эффективного торможения $\kappa^{(p)}$ водородоподобного иона примет вид

$$\kappa^{(p)} = \int_{q_{eff}}^{q_{max}} \{I_1(q) + I_2(q) + I_3(q)\} q dq, \quad (18)$$

где

$$I_1(q) = \pi |a_1(q)|^2 q^2,$$

$$I_2(q) = -16Z^4 \operatorname{Re} \left[a_1^*(q) \int \frac{a_1(q') a_Z^*(|\mathbf{q}' - \mathbf{q}|) \mathbf{q}' \mathbf{q} d^2 \mathbf{q}'}{\left(4Z^2 + (\mathbf{q}' - \mathbf{q})^2\right)^2} \right],$$

$$I_3(q) = \frac{4Z^4}{\pi} \times \\ \times \iint \frac{a_1(q') a_1^*(q'') a_Z^*(|\mathbf{q}' - \mathbf{q}|) a_Z(|\mathbf{q}'' - \mathbf{q}|)}{\left(4Z^2 + (\mathbf{q}' - \mathbf{q}'')^2\right)^2} \times \\ \times \mathbf{q}' \mathbf{q}'' d^2 \mathbf{q}' d^2 \mathbf{q}'',$$

а импульс q_{eff} рассчитывается по формуле (11). Здесь мы ввели функцию

$$a_Z(q) = \int_0^\infty J_0(qb) \{1 - \exp(iZ\varphi(b))\} b db, \quad (19)$$

причем под $a_1(q)$ понимается значение $a_Z(q)$ при $Z = 1$.

4. РЕЗУЛЬТАТЫ И ВЫВОДЫ

Используя формулы (18) и (11) в качестве примера, мы исследовали зависимость внутреннего эффективного торможения $\kappa^{(p)}$ водородоподобных ионов He^+ , B^{4+} , O^{7+} и Ne^{9+} на атомах Ne , Ar и Kr от скорости столкновения. Результаты расчетов представлены на рис. 1–3. Так, в случае столкновения указанных выше ионов с атомом Ne ($Z_a = 10$), на рис. 1 видно, что при малых скоростях внутреннее эффективное торможение $\kappa^{(p)}$ ионов существенно зависит от заряда Z ядра иона. При увеличении же скорости различие между ними уменьшается, и все наши расчетные кривые 1–4 (см. рис. 1) стремятся (особенно это заметно по кривой 1) к некоторой асимптотической линии — аналитическому решению, полученному в работе [12] в рамках приближения внезапных возмущений и метода сшивки. В нерелятивистском случае это решение имеет вид [12]

$$\kappa_{asym}^{(p)} = \kappa_{pert}^{(p)} + \Delta\kappa_{Bloch}^{(p)}, \quad (20)$$

где

$$\kappa_{pert}^{(p)} = \frac{4\pi Z_a^2}{v^2} N \left[\ln 2v - \sum_{i=1}^3 A_i^2 \ln(\alpha_i \sqrt{e}) + \right. \\ \left. + \sum_{\substack{i,j=1 \\ i \neq j}}^3 A_i A_j \frac{\alpha_j^2 \ln \alpha_j - \alpha_i^2 \ln \alpha_i}{\alpha_i^2 - \alpha_j^2} \right], \quad (21)$$

$$\Delta\kappa_{Bloch}^{(p)} = \frac{4\pi Z_a^2}{v^2} N \left[-\operatorname{Re} \psi \left(1 + i \frac{Z_a}{v} \right) + \psi(1) \right]. \quad (22)$$

Здесь $\kappa_{pert}^{(p)}$ фактически представляет собой эффективное торможение, рассчитанное в рамках теории возмущений, $\Delta\kappa_{Bloch}^{(p)}$ — непертурбативная поправка Блоха [24], дающая заметный вклад лишь при достаточно больших Z_a/v , ψ — логарифмическая производная Г-функции. Особенность выражения (20) заключается в том, что оно не зависит от заряда ядра иона, именно поэтому мы называем его асимптотическим.

Причина, по которой эффективное торможение $\kappa^{(p)}$, рассчитанное по формуле (18), переходит с ростом скорости в результаты выражения (20), заключается в следующем. Проведенный нами анализ выражения (18) показал, что увеличение скорости приводит к уменьшению влияния на результат расчета $\kappa^{(p)}$ слагаемого $-Z\varphi(b)$ в (17), ответственного за

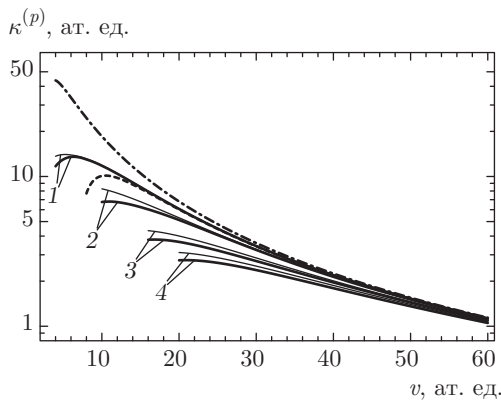


Рис. 1. Зависимость внутреннего эффективного торможения $\kappa^{(p)}$ водородоподобных ионов He^+ , B^{4+} , O^{7+} и Ne^{9+} от скорости столкновения v с атомом Ne . Сплошная жирная линия — расчет по формуле (18) с q_{eff} из (11), сплошная тонкая линия — расчет по формуле (18) с $q_{eff} = 0$, штриховая линия — расчет по асимптотической формуле (20), штрихпунктир — расчет по формуле (21) теории возмущений. Кривые 1 — ион He^+ , 2 — B^{4+} , 3 — O^{7+} , 4 — Ne^{9+}

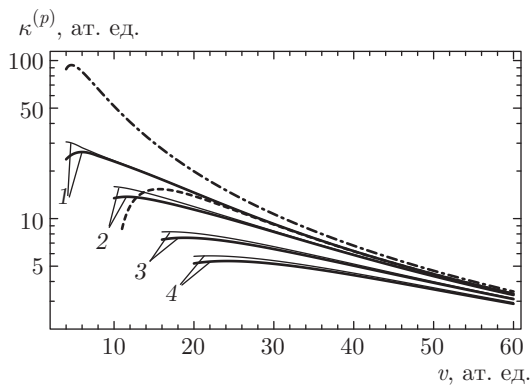


Рис. 2. Зависимость внутреннего эффективного торможения $\kappa^{(p)}$ водородоподобных ионов He^+ , B^{4+} , O^{7+} и Ne^{9+} от скорости столкновения v с атомом Ar . Смысл обозначений такой же, как на рис. 1

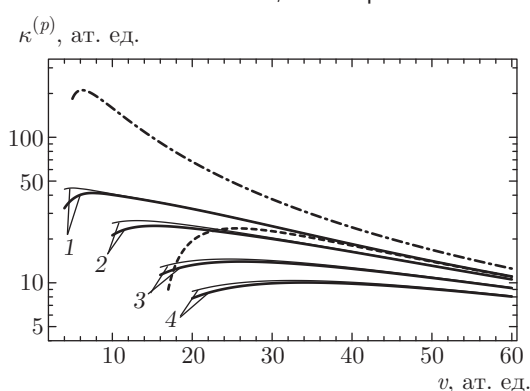


Рис. 3. Зависимость внутреннего эффективного торможения $\kappa^{(p)}$ водородоподобных ионов He^+ , B^{4+} , O^{7+} и Ne^{9+} от скорости столкновения v с атомом Kr . Смысл обозначений такой же, как на рис. 1

взаимодействие атома с ядром иона, по сравнению с $\varphi(|\mathbf{b} + \mathbf{s}|)$. В том числе это происходит за счет расширения диапазона интегрирования по импульсу q в (18), так как $q_{eff} \propto 1/v$ — уменьшается, стремясь к нулю, а $q_{max} \propto v$ — увеличивается. Именно такая же ситуация, связанная с нечувствительностью величины $\kappa^{(p)}$ к взаимодействию атома с ядром иона, имела место в работе [12] при выводе формулы (20) в рамках приближения внезапных возмущений, где при описании столкновения иона с атомом учитывается взаимодействие атома только с электроном иона, а роль ядра иона при этом сводится лишь к пространственной локализации электрона.

Выполненные нами численные оценки показали, что выражения (18) и (20) будут давать близкие результаты при выполнении условия $Z_a Z/v \lesssim 1$. Если же в добавок к этому условию выполняется неравенство $Z_a/v \ll 1$, то результаты расчетов по формулам (18) и (20) будут мало отличаться от результатов расчета по формуле (21) теории возмущений (см. рис. 1). В противном же случае, при $Z_a Z/v \gg 1$ расчеты по формуле (18) будут давать результаты сильно отличающиеся как от (20), так и от (21).

В случае столкновения ионов He^+ , B^{4+} , O^{7+} и Ne^{9+} с атомами Ar ($Z_a = 18$) и Kr ($Z_a = 36$) (см. соответственно рис. 2 и 3), в целом, картина изменения внутреннего эффективного торможения $\kappa^{(p)}$ с ростом скорости оказывается аналогичной поведению, представленному на рис. 1. Однако можно заметить, что при увеличении параметров Z и Z_a область, соответствующая переходу выражения (18) в (20), смещается в сторону больших v , что согласуется с условием $Z_a Z/v \lesssim 1$, причем при столкновении с атомом Kr ионов B^{4+} , O^{7+} и Ne^{9+} величины Z и Z_a оказываются настолько большими, что даже при максимальной скорости $v = 60$ из рассматриваемого диапазона параметр $Z_a Z/v$ для них принимает значения соответственно 3, 4.8 и 6. Таким образом, все три формулы, (18), (20) и (21), дают разный результат во всем рассматриваемом диапазоне скоростей, при этом переход кривых 2–4 в результат (20) (и, возможно, в (21)), видимо, следует ожидать при существенно больших скоростях, однако в этом случае нужно будет учитывать еще и релятивистские эффекты.

Таким образом, из рис. 1–3 следует, что при достаточно большом значении параметра $Z_a Z/v$ корректный расчет внутреннего эффективного торможения $\kappa^{(p)}$ возможен только с использованием выражения (18), которое непертурбативным образом учитывает влияние на $\kappa^{(p)}$ обоих зарядов Z_a и Z .

Мы также дополнительно исследовали влияние на торможение $\kappa^{(p)}$ величины эффективного импульса q_{eff} . Наши оценки показали, что так как $q_{eff} \propto 1/v$, при больших v величина q_{eff} должна давать относительно малый вклад в $\kappa^{(p)}$. Для проверки этого предположения мы дополнительно исследовали зависимость эффективного торможения $\kappa^{(p)}$ от скорости v для тех же сталкивающихся партнеров, что и ранее, положив в формуле (18) $q_{eff} = 0$. Результаты расчетов представлены на рис. 1–3 в виде сплошных тонких линий. Как видно на рис. 1–3, учет влияния q_{eff} на величину $\kappa^{(p)}$ оказывается необходимым лишь при $v/v_0 \approx 2\text{--}4$. При $v/v_0 > 4$, для рассматриваемых нами сталкивающихся партнеров вкладом q_{eff} в величину $\kappa^{(p)}$ можно пренебречь, заменив в (18) q_{eff} на нуль.

Представленные в работе расчеты проводились с использованием библиотек GSL и Cuba на вычислительном кластере САФУ. Работа выполнена в рамках КГЗ Министерства образования и науки РФ (№ 3.1726.2014/К). Автор благодарит В. И. Матвеева за обсуждение результатов работы и сделанные полезные замечания.

ЛИТЕРАТУРА

1. U. Fano, Ann. Rev. Nucl. Sci. **13**, 1 (1963).
2. S. P. Ahlen, Rev. Mod. Phys. **52**, 121 (1980).
3. J. F. Ziegler, J. Appl. Phys./Rev. Appl. Phys. **85**, 1249 (1999).
4. B. A. Weaver and A. J. Westphal, Nucl. Instrum. Meth. Phys. Res. B **187**, 285 (2002).
5. P. Sigmund, *Particle Penetration and Radiation Effects. General Aspects and Stopping of Swift Point Particles*, Springer Series in Solid State Sciences, Springer-Verlag, Berlin (2006).
6. P. Sigmund, *Particle Penetration and Radiation Effects. Volume 2: Penetration of Atomic and Molecular Ions*, Springer, Switzerland (2014).
7. P. Sigmund and K. Dan. Vidensk, *Special issue on Ion Beam Science: Solved and Unsolved Problems*, ed. by P. Sigmund, Selsk. Mat. Fys. Medd. **52**, 557 (2006).
8. H. Geissel, H. Weick, C. Scheidenberger et al., Nucl. Instrum. Meth. Phys. Res. B **195**, 3 (2002).
9. G. Schiwietz and P. L. Grande, Nucl. Instrum. Meth. Phys. Res. B **175**–**177**, 125 (2001).
10. T. E. Pierce and M. Blann, Phys. Rev. **173**, 390 (1968).
11. R. Cabrera-Trujillo, S. A. Cruz, J. Oddershede et al., Phys. Rev. A **55**, 2864 (1997).
12. В. И. Матвеев, Д. Б. Сидоров, ЖЭТФ **132**, 569 (2007).
13. C. C. Montanari and J. E. Miraglia, Phys. Rev. A **73**, 024901 (2006).
14. M. C. Tufan, A. Köroglu, and H. Gümüs, Acta Phys. Pol. A **107**, 459 (2005).
15. M. C. Tufan, Ö. Kabadayi, and H. Gümüs, Radiat. Phys. Chem. **76**, 631 (2007).
16. В. И. Матвеев, Е. С. Гусаревич, С. В. Рябченко и др., Письма в ЖЭТФ **88**, 268 (2008).
17. В. И. Матвеев, Е. С. Гусаревич, Д. Н. Макаров, ЖЭТФ **136**, 843 (2009).
18. F. Salvat, J. D. Martinez, R. Mayol et al., Phys. Rev. A **36**, 467 (1987).
19. R. J. Glauber, *In Lectures in Theoretical Physics*, Vol. I, ed. by W. E. Brittin, Interscience, New York (1959), p. 315.
20. М. Гольдбергер, К. Ватсон, *Теория столкновений*, Мир, Москва (1967).
21. Л. Д. Ландау, Е. М. Лифшиц, *Квантовая механика*, Наука, Москва (1989).
22. C. J. Joachain and C. Quigg, Rev. Mod. Phys. **46**, 279 (1974).
23. H. A. Bethe and R. Jackiw, *Intermediate Quantum Mechanics*, Benjamin/Cummings, Reading, MA (1986).
24. F. Bloch, Ann. Phys. (Lpz.) **16**, 285 (1933).